

## SiC MOSFETs

<b>V<sub>DSS</sub></b>	650V				750V		900V		
<b>R<sub>DS(on)</sub></b>	27mΩ	35mΩ	50mΩ	65mΩ	11mΩ		15mΩ		
<b>V<sub>DSS</sub></b>	1200V							1700V	
<b>R<sub>DS(on)</sub></b>	8mΩ	13mΩ	16mΩ	18mΩ	20mΩ	32mΩ	40mΩ	75mΩ	1Ω

## SiC SBDs

<b>V<sub>RRM</sub></b>	650V											
<b>I<sub>F</sub></b>	1A	2A	4A	6A	8A	10A	12A	16A	20A	30A	40A	50A
<b>V<sub>RRM</sub></b>	1200V											
<b>I<sub>F</sub></b>	1A	2A	3A	5A	10A	15A	20A	27A	30A	40A	50A	60A
<b>V<sub>RRM</sub></b>	1700V											
<b>I<sub>F</sub></b>	25A						50A					
<b>V<sub>RRM</sub></b>	2000V											
<b>I<sub>F</sub></b>	20A						40A					

### 产品特性

- 简易的驱动电压
- 低导通电阻
- 高反向阻断能力
- 低反向恢复时间
- 部分产品支持AEC-Q101

### 应用领域

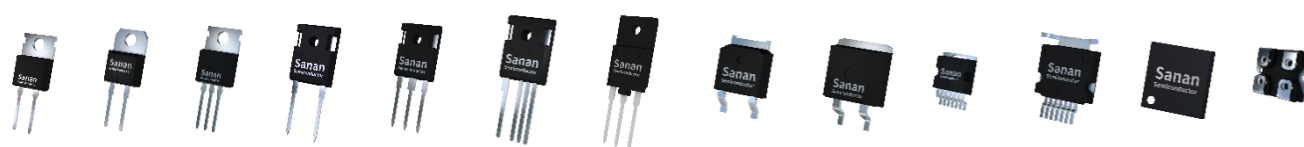
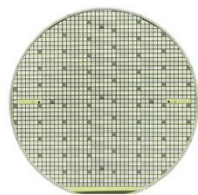
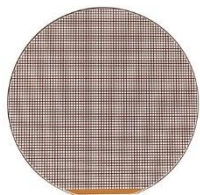
- 光伏储能
- 车载充电机
- 充电桩
- 新能源电驱动系统

### 产品特性

- 高可靠性MPS结构
- 零反向恢复电流
- 更低的正向压降
- 超高开关速度和更低损耗
- 减薄晶圆平台
- 部分产品支持AEC-Q101

### 应用领域

- 光伏储能
- 服务器电源
- 通信电源
- 车载充电机
- 充电桩
- DC/DC
- 家电



V <sub>DSS</sub>	R <sub>DS(on)</sub>	Baredie	T0247-3L	T0247-4L	T0247-4L Plus	T0247-4LA	T0263-7L	SAPKG-9L
650V	27mΩ	○		○				○
	35mΩ	○		○				○
	50mΩ	●		●			○	○
	65mΩ	○		○				
750V	11mΩ	○		○				
900V	15mΩ	○		○			○	
1200V	8mΩ				○			
	13mΩ	○						
	16mΩ	●		●		○		
	18mΩ	●		○		○		
	20mΩ	●		●				
	32mΩ	●		●		○		○
	40mΩ	○		○				
	75mΩ	○	○	○			○	○
1700V	1Ω	●	●			○		

V <sub>RRM</sub>	I <sub>F</sub>	Baredie	T0220-2L	T0220F-2L	T0220N-2L	T0247-2L	T0247-3L	T0252-2L	T0263-2L	T03PF-3L	DFN8*8-4L	SAPKG	SMBF
650V	1A	●											●
	2A	●						●					
	4A	●	●					●					
	6A	●	●		●			●	●		●		
	8A	●	●		●			●	●		●		
	10A	●	●		●			●	●		●	○	
	12A	●	●		●						●		
	16A	●	●	●			●	●					
	20A	●	●				●	●	●		●		
	30A	●					●	●					
	40A	●					●	●					
	50A	●					●			●			
1200V	1A	●											●
	2A	●	●										
	3A	●											
	5A	●	●										
	10A	●	●			●	●	●		●			
	15A	●	●			●							
	20A	●	●			●	●			●			
	27A	●				●							
	30A	●				●	●						
	40A	●				●	●						
	50A	●				●						○	
	60A	●				●	●						
1700V	25A	●				●							
	50A	○				○							
2000V	20A	○				○							
	40A	○				○							